

07;12

Сравнение чувствительности термолинзового и фазового (интерференционного) методов фототермической спектроскопии

© А.Ю. Лукьянов, М.А. Новиков

Институт физики микроструктур РАН,
603600 Нижний Новгород, Россия
Email: luk@ipm.sci-nnov.ru

(Поступило в Редакцию 10 января 2000 г.)

Получены выражения для амплитуд сигналов, регистрируемых при использовании термолинзового и фазового (интерферометрическом) методов фототермической спектроскопии в условиях объемного поглощения возбуждающего излучения для случаев соосного и перпендикулярного распространения зондирующего и возбуждающего излучения. На основе численных расчетов проведено сравнение чувствительности указанных методов для различных значений параметров. Показано преимущество фазового метода, особенно большое в тех случаях, когда размеры области переменных возмущений температуры существенно превышают радиус зондирующего света.

На протяжении последнего десятилетия методы фототермической (термоволновой) спектроскопии получают все более широкое применение в микроскопии и интроскопии, в исследованиях теплофизических характеристик различных объектов и сред, в системах контроля за примесями и загрязнениями и т.д. Особый интерес вызывают оптические методы фототермической спектроскопии, поскольку они являются полностью бесконтактными и обладают высокой чувствительностью и пространственным разрешением. Благодаря простоте реализации наиболее популярными среди оптических методов фототермической спектроскопии остаются дефлекторный метод и метод тепловой линзы. Их основные закономерности изучены достаточно хорошо, особенно в приближении геометрической оптики [1,2]. Реже используется, а потому хуже изучен фазовый (интерферометрический) метод. И практически совсем не уделено внимания сравнению возможностей указанных трех методов. Фактически этому вопросу посвящены всего несколько работ. Так, в работе [3] проведен сравнительный анализ предельной чувствительности всех трех методов в ряде предельных случаев поглощения света в объеме исследуемого образца в приближении геометрической оптики. В работе [4] проведен сравнительный анализ величин фототермических сигналов, регистрируемых с помощью дефлекторного и фазового методов в случае поглощения света на поверхности исследуемого объекта.

Данная работа посвящена сравнению фазового и термолинзового сигналов для случая объемного поглощения света. Мы будем придерживаться методики вычисления фототермических сигналов, предложенной в [4] и позволяющей получать выражения, не ограничиваясь приближением геометрической оптики. Она состоит в решении задачи дифракции и в основном сводится к вычислению интеграла Френеля–Кирхгофа.

Сначала рассмотрим продольную конфигурацию (рис. 1). Распределение температуры в этом случае имеет цилиндрическую симметрию, поэтому уравнение

тепловой диффузии запишем в цилиндрических координатах. Будем рассматривать случай непрерывной накачки, промодулированной по синусоидальному закону и имеющей Гауссово распределение интенсивности,

$$\frac{1}{r} \frac{\partial}{\partial r} \left(r \frac{\partial T}{\partial r} \right) + \frac{\partial^2 T}{\partial z^2} - \frac{1}{\chi} \frac{\partial T}{\partial t} = - \frac{Q(r, \varphi, z, t)}{K}, \quad (1)$$

где

$$Q(r, \varphi, z, t) = \alpha \frac{P_{\text{pump}}}{\pi r_{\text{pump}}^2} \exp \left(- \frac{2r^2}{r_{\text{pump}}^2} \right) \cos \Omega t, \quad (2)$$

r_{pump} — радиус пучка накачки, P_{pump} — средняя мощность накачки, K — коэффициент теплопроводности, $\chi = K/(\rho c)$ — коэффициент температуропроводности, ρ — плотность, c — теплоемкость.

Пренебрегая теплопереносом вдоль оси z , колебания температуры на частоте модуляции Ω можно записать в виде

$$T_{\Omega}(r, z = 0, \varphi, t) = \text{Re} \left\{ \int_0^{\infty} \xi d\xi J_0(r\xi) \times \left(\frac{\alpha P_{\text{pump}}}{K} \frac{1}{2\pi} e^{-\xi^2 r_{\text{pump}}^2 / 8} \right) \frac{e^{i\Omega t}}{\xi^2 + i\Omega/\chi} \right\}. \quad (3)$$

Зондирующий свет с длиной волны λ_{probe} , прошедший соосно с пучком накачки через нагретую таким образом область длиной l , получит дополнительный набег фазы (при условии, что тепловая линза тонкая)

$$\begin{aligned} \Phi(r, \varphi, t) &= \frac{2\pi}{\lambda_{\text{probe}}} \frac{\partial n}{\partial T} \int_{-1/2}^{1/2} T(r, z, \varphi, t) dz \\ &= \frac{2\pi}{\lambda_{\text{probe}}} \frac{\partial n}{\partial T} l T_{\Omega}(r, z = 0, \varphi, t). \end{aligned} \quad (4)$$

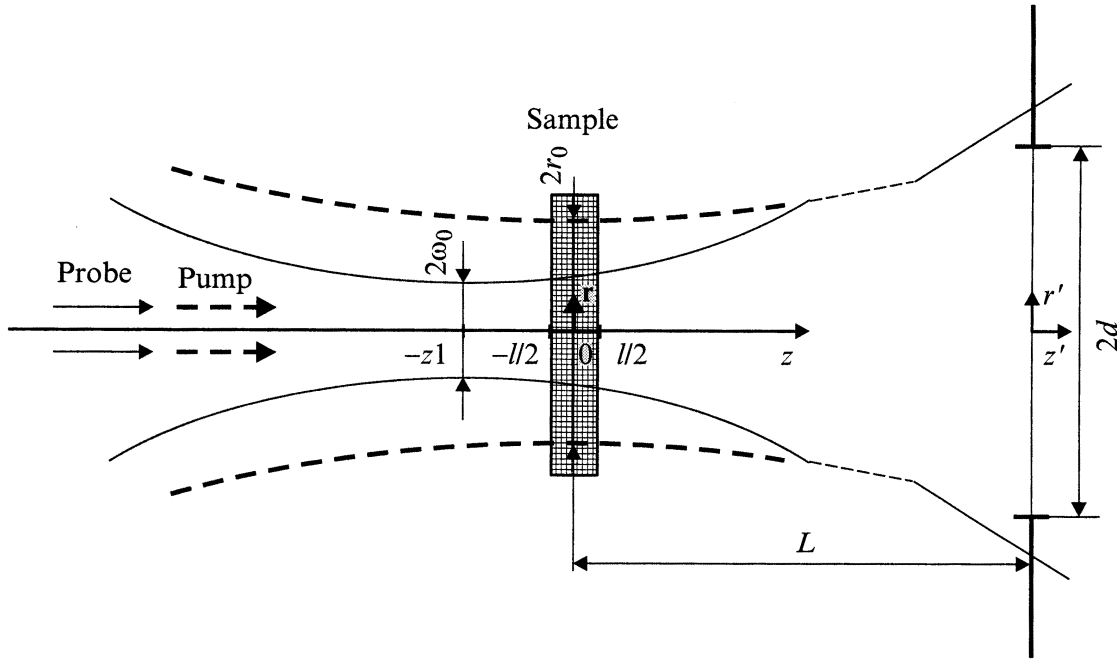


Рис. 1. Продольная конфигурация. Возбуждающий и зондирующий пучки света распространяются соосно; длина образца меньше длины перетяжки возбуждающего пучка света.

Теперь найдем распределение амплитуды поля излучения зондирующего света в дальней зоне, где расположен фотоприемник. Интеграл Френеля–Кирхгофа в цилиндрических координатах запишется в виде

$$U(r', \varphi', t) = \frac{i}{\lambda_{\text{probe}} L} \int d\varphi \int r dr U(r, z=0, \varphi, t) \times \exp \left\{ -\frac{ik}{2L} [r^2 + r'^2 - 2rr' \cos(\varphi - \varphi')] \right\}, \quad (5)$$

где L — расстояние от нагретой области до фотоприемника, k — волновое число зондирующего света, $U(r, z=0, \varphi)$ — амплитуда поля излучения зондирующего лазера в нагретой области.

Нас интересуют достаточно малые тепловые возмущения, для которых выполняется следующее приближение:

$$U(r, z=0, \varphi, t) = U_0(r, z=0, \varphi) e^{i\Phi(t)} \approx U_0(r, \varphi) (1 + i\Phi(t)). \quad (6)$$

Здесь U_0 — амплитуда поля зондирующего лазера в отсутствие тепловых возмущений. Пусть она распределена по гауссовому закону [5]

$$U(r, z=0, \varphi, t) = E_0 \frac{\omega_0}{\omega(z_1)} \exp \left[-r^2 \left(\frac{1}{\omega^2(z_1)} + \frac{ik}{2R(z_1)} \right) \right],$$

$$\omega^2(z) = \omega^2 \left(1 + z^2/z_0^2 \right), \quad R(z) = z \left(1 + z_0^2/z^2 \right),$$

$$z_0 = \pi \omega^2 n / \lambda_{\text{probe}}.$$

В этом случае распределение интенсивности зондирующего света в дальней зоне будет иметь следующий вид:

$$I(r', \varphi', t) = |U(r', \varphi', t)|^2 = I_0(r', \varphi') + U_0^*(r', \varphi') \times \Delta U(r', \varphi', t) U_0(r', \varphi') \Delta U^*(r', \varphi', t). \quad (7)$$

Здесь $I_0(r', \varphi')$ — невозмущенное распределение интенсивности пробного света в дальней зоне,

$$\Delta U(r', \varphi', t) = -\frac{1}{\lambda_{\text{probe}} L} \times \int d\varphi \int r dr U_0(r', \varphi', t) \Phi(r, \varphi, z, t) \times \exp \left\{ -\frac{ik}{2L} [r^2 + r'^2 - 2rr' \cos(\varphi - \varphi')] \right\}. \quad (8)$$

Для регистрации сигнала тепловой линзы обычно используется фотоприемник с установленной перед ним круглой диафрагмой. В этом случае термолинзовый сигнал будет пропорционален изменению интенсивности пробного света ΔI_{T1} , прошедшего через диафрагму,

$$\Delta I_{T1}(t) = \eta \int_0^d r' dr' \int_{-\pi}^{\pi} d\varphi \left[U_0^*(r', \varphi') \Delta U(r', \varphi', t) + U_0(r', \varphi') \Delta U^*(r', \varphi', t) \right], \quad (9)$$

где η — квантовая эффективность фотоприемника, d — радиус диафрагмы.

Подставляя (8) и (9), получаем

$$\begin{aligned} \Delta I_{T1}(t) = & -\eta \iint r dr d\varphi |U_0|^2 \Phi(r\varphi, t) \\ & \times \operatorname{Im} \left\langle \omega_0^2 \left(1 + i \frac{z_1}{z_0} \right) \exp \left\{ \frac{r^2}{\omega_0^2 (1 + iz_1/z_0)} \right\} \right. \\ & \left. \times \int_0^{kd/L} \exp \left\{ -\frac{\xi^2}{4} \omega_0^2 \left(1 + i \frac{z_1}{z_0} \right) \right\} J_0(\xi r) \xi d\xi \right\rangle, \quad (10) \end{aligned}$$

где $J_0(\xi r)$ — функция Бесселя первого рода.

Подставляя в (10) выражение для $\Phi(r\varphi, t)$, окончательно получаем амплитуду термолинзового сигнала, нормированную на интенсивность зондирующего света,

$$\begin{aligned} \text{TISignal}_{\parallel} = & \frac{\pi \omega_0^4}{\lambda} \frac{\partial n}{\partial T} \frac{\alpha l}{K} P_{\text{pump}} \operatorname{Abs} \left(\int_0^{kd/L} \xi d\xi \exp \left\{ -\frac{\xi^2 \omega_0^2}{2} \right\} \right. \\ & \times \int_0^{\infty} \frac{\lambda d\lambda}{\lambda^2 + i\Omega/\chi} \operatorname{Im} \left[I_0 \left\{ \frac{\lambda \xi}{2} \omega_0^2 \left(1 - i \frac{z_1}{z_0} \right) \right\} \right. \\ & \left. \left. \times \exp \left\{ -\frac{\lambda^2}{4} \left[\frac{r_{\text{pump}}^2}{2} + \omega_0^2 \left(1 - \frac{z_1}{z_0} i \right) \right] \right\} \right] \right), \quad (11) \end{aligned}$$

где $I_0(\xi r)$ — модифицированная функция Бесселя первого рода.

Выражение (11) фактически описывает поведение сигнала тепловой линзы в общем виде. Остается только добавить, что для получения максимального сигнала необходимо оптимизировать значения двух параметров: kd/L и z_1 .

Перейдем теперь к рассмотрению регистрации тепловых возмущений фазовым методом. В этом методе дополнительный набег фазы пробного света регистрируется с помощью интерферометра, один луч которого проходит через нагретую область, а другой — вне ее. В литературе описано применение различных видов оптических интерферометров [6–8] для регистрации тепловых волн. Мы предпочитаем использовать поляризационные интерферометры [9]. К их преимуществам можно отнести высокую стабильность, высокую чувствительность и малые габариты [10]. Кроме того, в них не происходит потеря света. Распределение интенсивности света на фотоприемнике в этом случае имеет вид

$$\begin{aligned} I(r', \varphi', t) = & |U(r', \varphi', t) + U_{\text{ref}}(r', \varphi', t)|^2 \\ = & |U_0(r', \varphi')|^2 \cos^2 \frac{\delta}{2} + \frac{1}{2} \cos \frac{\delta}{2} \\ & \times \left(U_0'(r', \varphi') \Delta U'^*(r', \varphi', t) e^{i\delta/2} \right. \\ & \left. + \Delta U(r', \varphi', t) U_0'^*(r', \varphi') e^{i\delta/2} \right), \quad (12) \end{aligned}$$

где δ — постоянная разность фаз между лучами интерферометра,

$$U'_{\text{ref}}(r', \varphi) = U'_0(r', \varphi') e^{i\delta}, \quad (13)$$

$$U'(r', \varphi') = U'_0(r', \varphi') + \Delta U'(r', \varphi', t). \quad (14)$$

Проинтегрировав последнее слагаемое по штрихованным координатам, получим величину фототермического сигнала

$$\Delta I_{\text{phsh}}(t) = \eta \sin \delta \int_{-\pi}^{\pi} d\varphi \int_0^{\infty} dr r |U_0(r, \varphi)|^2 \Phi(r, \varphi, t). \quad (15)$$

Как и следовало ожидать, максимум сигнала достигается при разности фаз между плечами интерферометра, равной $\delta = \pi/2$. В дальнейшем будем считать это условие выполненным. После подстановки $\Phi(r, \varphi, t)$ в (15) получаем следующее выражение для амплитуды интерференционного сигнала, нормированной на интенсивность зондирующего света:

$$\begin{aligned} \text{IntSignal}_{\parallel} = & \frac{\omega_0^2}{8\lambda_{\text{probe}}} \frac{\partial n}{\partial T} \frac{\alpha l}{K} P_{\text{pump}} \\ & \times \operatorname{Abs} \left[E_i \left(-\frac{i\Omega}{\chi} \frac{r_{\text{pump}}^2 + \omega_0^2}{8} \right) \right], \quad (16) \end{aligned}$$

где

$$E_i(x) = \int_{-\infty}^x \frac{e^t}{t} dt$$

— интегральная показательная функция.

Перейдем к рассмотрению поперечного варианта (рис. 2). В этом случае распределение переменной, на частоте Ω температуры будет иметь следующий вид:

$$\begin{aligned} T_{\Omega}(x, y, z, t) = & \operatorname{Re} \int_0^{\infty} \xi d\xi \frac{\alpha}{K} \frac{P_{\text{pump}}}{2\pi} J_0(\xi \sqrt{y^2 + z^2}) \\ & \times e^{-\frac{\xi^2 r_{\text{pump}}^2}{8}} \frac{e^{i\Omega t}}{\xi^2 + i\Omega/\chi}, \quad (17) \end{aligned}$$

где x, y, z — декартовы координаты.

Считая длину ячейки много большей размеров области, в которой существует интересующее нас возмущение температуры, можно записать выражение для переменной фазы зондирующего света в таком виде:

$$\Phi_{\Omega}(x, y, t) = \frac{2\pi}{\lambda_{\text{probe}}} \frac{\partial n}{\partial T} \int_{-\infty}^{\infty} dz T(x, y, z, t). \quad (18)$$

Повторяя описанную выше процедуру вычислений для поперечной конфигурации, получаем выражения для амплитуд интерференционного и термолинзового сигналов,

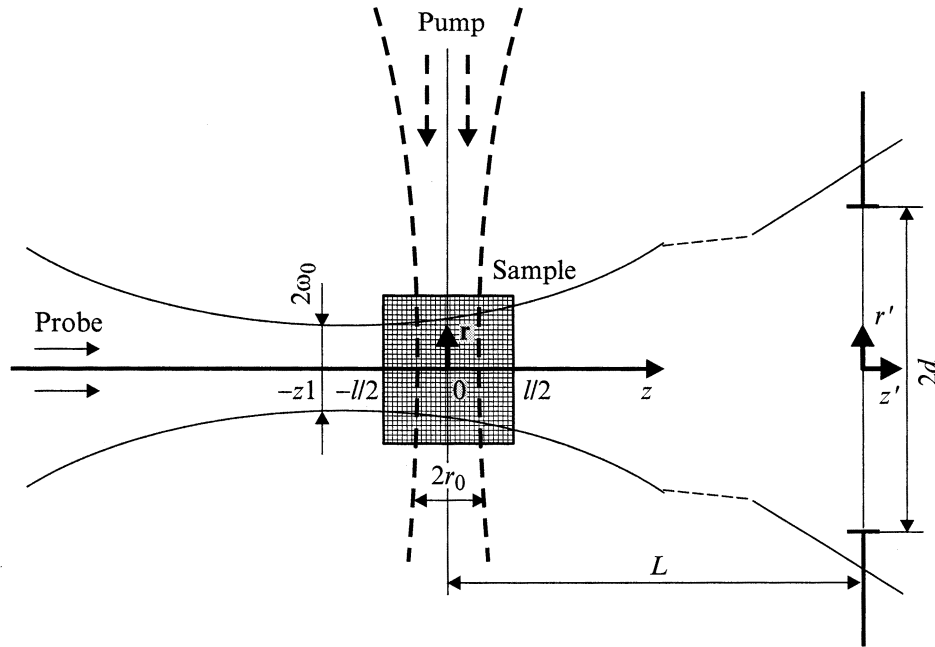


Рис. 2. Поперечная конфигурация. Возбуждающий и зондирующий пучки света распространяются перпендикулярно друг другу и пересекаются внутри образца.

нормированных на интенсивность зондирующего света,

$$\text{IntSignal}_{\perp} = \frac{\pi^2}{2} \sqrt{\frac{\chi}{\Omega}} \frac{\omega_0^2}{\lambda_{\text{probe}}} \frac{\partial n}{\partial T} \frac{\alpha l}{K} P_{\text{pump}} \times \text{Abs} \left[\text{Erfc} \left(\sqrt{\frac{\Omega r_{\text{pump}}^2 + \omega_0^2}{\chi} e^{i\pi/4}} \right) \right], \quad (19)$$

$$\text{TISignal}_{\perp} = 2\pi \frac{\omega_0^4}{\lambda_{\text{probe}}} \frac{\partial n}{\partial T} \frac{\alpha l}{K} P_{\text{pump}} \text{Abs} \left(\int_0^{kd/L} dt \exp \times \left\{ -\frac{t^2 \omega_0^2}{2} \right\} t \int_0^{\infty} \frac{dx}{x^2 + i\Omega/\chi} \text{Im} \left[I_0 \left\{ \frac{tx}{2} \omega_0^2 \left(1 - i \frac{z}{z_0} \right) \right\} \right] \right) \times \exp \left\{ -\frac{x^2}{4} \left[\frac{r_0^2}{2} + \omega_0^2 \left(1 - \frac{z}{z_0} i \right) \right] \right\} \right). \quad (20)$$

Для сравнения чувствительности фазового (интерференционного) и термолинзового методов необходимо рассмотреть отношение

$$\left(\frac{\text{IntSignal}}{\text{IntNoise}} \right) / \left(\frac{\text{TISignal}}{\text{TINoise}} \right).$$

Мы будем учитывать только дробные шумы пробного света. В этом случае

$$\left(\frac{\text{IntSignal}}{\text{IntNoise}} \right) / \left(\frac{\text{TISignal}}{\text{TINoise}} \right) = \frac{\text{IntSignal}}{\text{TISignal}} \times \left(1 - \exp \left(-\frac{\omega_0^2 k^2 d^2}{2L^2} \right) \right)^{1/2}. \quad (21)$$

Зависимости отношения чувствительности фазового (интерференционного) и термолинзового методов качественно очень похожи в обоих рассмотренных конфигурациях. Единственное различие состоит в несколько большей крутизне кривых для поперечного варианта. Поэтому мы ограничимся рассмотрением графиков зависимости

$$\left(\frac{\text{IntSignal}}{\text{IntNoise}} \right) / \left(\frac{\text{TISignal}}{\text{TINoise}} \right)$$

от частоты модуляции накачки и радиуса пучка накачки только для продольного варианта, а для поперечного варианта приведем графики зависимости отношения $\text{IntSignal}/\text{TISignal}$ от теплопроводности и радиуса зондирующего пучка.

На рис. 3 представлена зависимость отношения чувствительности интерференционного и термолинзового методов от радиуса пучка накачки для нескольких значений частоты ($f = 2\pi\Omega$) модуляции накачки. В области малых значений диаметра пучка накачки, для которых длина волны тепловой диффузии много больше r_0 , отношение

$$\left(\frac{\text{IntSignal}}{\text{IntNoise}} \right) / \left(\frac{\text{TISignal}}{\text{TINoise}} \right)$$

не зависит от r_0 , поскольку источник тепла можно представить как точечный. В области больших значений r_0 , для которых длина тепловой диффузии много меньше r_0 , отношение

$$\left(\frac{\text{IntSignal}}{\text{IntNoise}} \right) / \left(\frac{\text{TISignal}}{\text{TINoise}} \right)$$

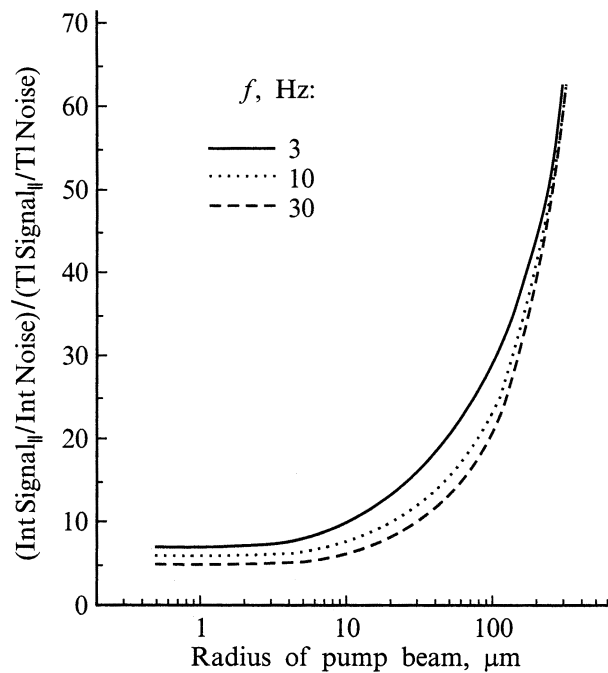


Рис. 3. Отношение чувствительности интерференционного и термолинзового методов в продольной конфигурации в зависимости от радиуса пучка накачки при $K = 1.5 \cdot 10^{-3} \text{ W}/(\text{cm} \cdot \text{deg})$, $\rho = 0.9 \text{ g}/\text{cm}^{-3}$, $c = 2 \text{ J}/(\text{g} \cdot \text{deg})$, $\omega_0 = 3 \mu\text{m}$.

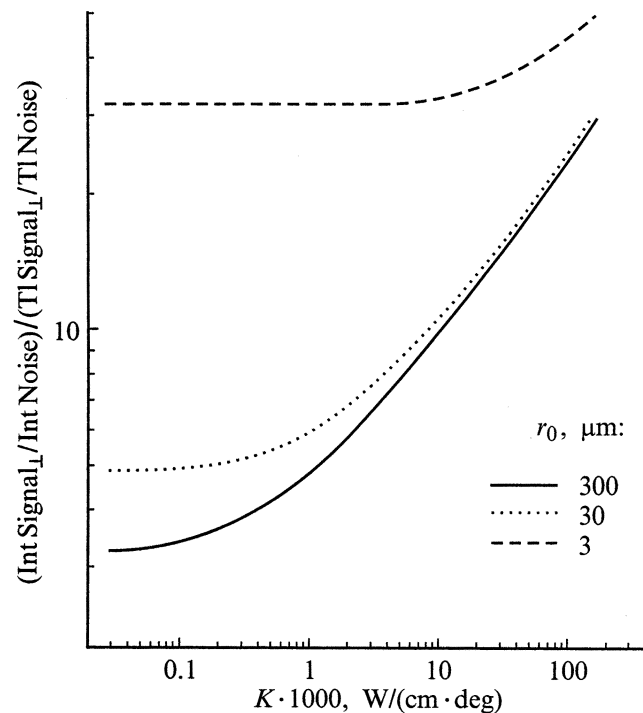


Рис. 5. Отношение чувствительности интерференционного и термолинзового методов в поперечной конфигурации в зависимости от коэффициента теплопроводности при $\rho = 0.9 \text{ g}/\text{cm}^{-3}$, $c = 2 \text{ J}/(\text{g} \cdot \text{deg})$, $\omega_0 = 3 \mu\text{m}$, $f = 10 \text{ Hz}$.

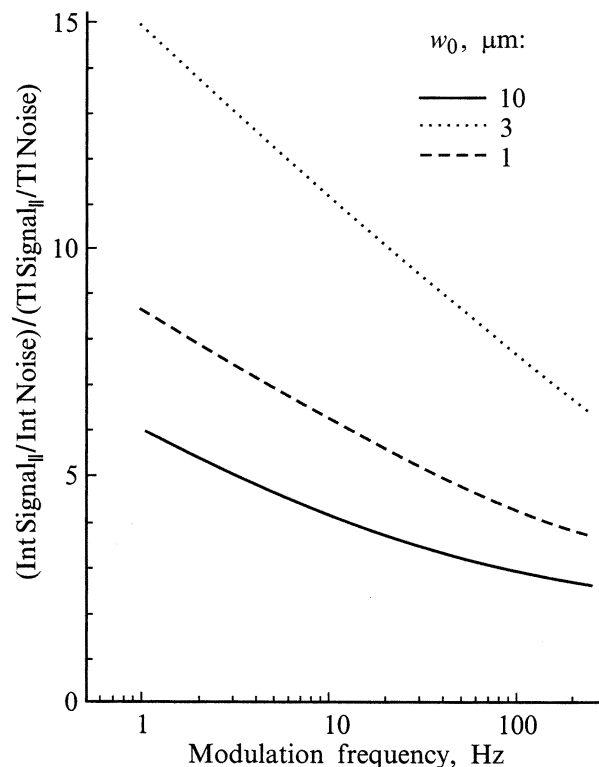


Рис. 4. Отношение чувствительности интерференционного и термолинзового методов в продольной конфигурации в зависимости от частоты модуляции накачки при $K = 0.32 \text{ W}/(\text{cm} \cdot \text{deg})$, $\rho = 0.9 \text{ g}/\text{cm}^{-3}$, $c = 2 \text{ J}/(\text{g} \cdot \text{deg})$, $r_0 = 10 \mu\text{m}$.

быстро возрастает и перестает зависеть от Ω , поскольку форма тепловых возмущений все больше повторяет форму пучка накачки.

На рис. 4 приведены зависимости отношения чувствительности интерференционного и термолинзового методов в зависимости от частоты модуляции накачки для различных радиусов зондирующего пучка. Из них видно, что с уменьшением частоты интерференционный сигнал растет быстрее, чем термолинзовый. Это особенно заметно для малых радиусов зондирующего пучка. Качественно это можно объяснить тем, что уменьшение частоты модуляции приводит к росту объема нагретой области и более быстрому росту абсолютных значений температуры по сравнению с ростом ее производных по координатам, ответственных за формирование термолинзового сигнала.

Подобным же образом можно объяснить и более быстрый рост интерференционного сигнала при увеличении теплопроводности образца рис. 5.

На рис. 6 приведены зависимости отношения интерферометрического и термолинзового сигналов от радиуса пучка зондирующего света для различных частот модуляции. В соответствии с ними по мере уменьшения радиуса пучка зондирующего света наблюдается более быстрый рост интерферометрического сигнала. Качественно это объясняется тем, что у тепловой линзы, как у линзы вообще, больше работают края, а изменение фазы зондирующего света максимально в центре нагретой области.

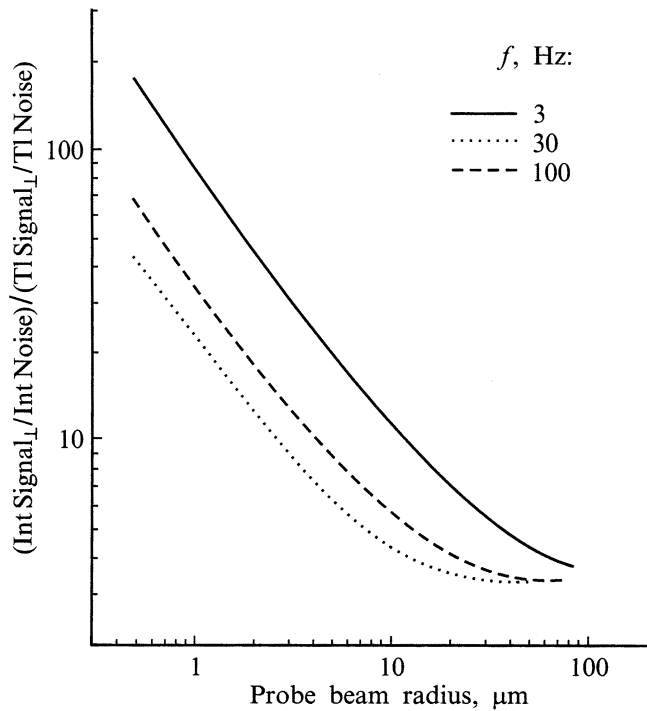


Рис. 6. Отношение чувствительности интерференционного и термолинзового методов в поперечной конфигурации в зависимости от радиуса зондирующего пучка при $K = 1.5 \cdot 10^{-3} \text{ W}/(\text{cm} \cdot \text{deg})$, $\rho = 0.9 \text{ g}/\text{cm}^{-3}$, $c = 2 \text{ J}/(\text{g} \cdot \text{deg})$, $r_0 = 10 \text{ }\mu\text{m}$.

В том случае, когда преобладают технические шумы, величина которых пропорциональна интенсивности пробного, отношение

$$\left(\frac{\text{IntSignal}}{\text{IntNoise}} \right) / \left(\frac{\text{TI Signal}}{\text{TI Noise}} \right) = \frac{\text{IntSignal}}{\text{TI Signal}} \times \left(1 - \exp \left(-\frac{\omega_0^2 k^2 d^2}{2L^2} \right) \right)$$

и характер рассмотренных выше зависимостей принципиально не изменяется.

Во всех исследованных случаях чувствительность интерференционного метода оказалась большей по сравнению с термолинзовым. Таким образом, было показано, что фазовый (интерференционный) метод регистрации тепловых волн обладает преимуществом в чувствительности, особенно значительным в тех случаях, когда размеры области переменных возмущений температуры превышают радиус пучка зондирующего света.

Список литературы

- [1] *Bicanic D.* Photoacoustic and Photothermal Phenomena III. Berlin: Springer, 1992.
- [2] *Mandelis A.* Principles & Perspectives of Photothermal and Photoacoustic Phenomena, New York: Elsevier, 1992.
- [3] *Бражник П.К., Новиков М.А.* // Опт. и спектр. 1991. Т. 70. № 2. С. 453.
- [4] *Глазов А.Л., Муратиков К.Л.* // ЖТФ. 1991. Т. 61. Вып. 11. С. 187–196.
- [5] *Ярив А.* Квантовая электроника. М.: Сов. Радио, 1980. 488 с.
- [6] *Glasov A.L., Muratikov K.L.* // Int. J. Optoelectronics. 1989. Vol. 4. N 3. P. 589–597.
- [7] *Бражник П.К., Новиков М.А., Пушкин А.А.* // Опт. и спектр. 1990. Т. 68. № 3. С. 631–635.
- [8] *Faubel W., Seidel B.S., Ache H.J.* // Opt. Eng. 1996. Vol. 35. (12). P. 3555–3561.
- [9] *Лукьянов А.Ю., Владыкин Г.Б., Аратскова А.А. и др.* // Журнал физ. химии. 1997. Т. 71. № 8. С. 1497.
- [10] *Francon M., Mallick S.* Polarization Interferometers, Application in Microscopy and Macroscopy. New York: Academic Press, 1971.